

FYZIKÁLNÍ PRAKTIKUM

Fyzikální praktiku 3

Zpracoval: Radek Žemlička

Naměřeno: 22. května 2009

Obor: F **Ročník:** II **Semestr:** IV

Testováno:

Úloha č. 4: Určení teploty elektrického oblouku spektrálními metodami

1 Teorie

Látky obecně vyzařují spojité elektromagnetické záření které je nazýváno tepelným zářením. Intenzita tohoto záření pro každou vlnovou délku je funkcí teploty. Tato závislost je popsána Planckovým vyzařovacím zákonem. Samotné vyzařování ještě ovlivňuje míra toho, jak těleso odráží záření z okolí. Ideální těleso s nulovou odrazivostí se nazývá absolutně černé těleso. V praxi pak často pracujeme s takzvanými sedými tělesy, které se svými vlastnostmi absolutně černému tělesu blíží. Kromě tepelného záření existuje také celá řada mechanismů, které vyvolávají nespojité záření. Například v plazmě vytvořené v elektrickém oblouku dochází k emisi světelných kvantů vlivem stimulovaného přechodu elektronů z vyšších energetických hladin na nižší. Spektrálním rozkladem tohoto záření získáme takzvané emisní čárové spektrum, které je charakteristické pro každou látku, která se výboje účastní. Pro relativní intenzitu spektrální čáry s vlnovou délkou λ_{mn} vyvolanou seskokem z hladiny s energií m na hladinu s energií n platí:

$$I_{mn} \sim \frac{A_{mn}g_m}{\lambda_{mn}} e^{-\frac{E_m}{kT}} \quad (1)$$

nebo-li po úpravě:

$$\ln \frac{I_{mn}\lambda_{mn}}{A_{mn}g_m} = f \left(\frac{E_m}{kT} \right) \quad (2)$$

kde E_m je excitační energie horní hladiny, I_m intenzita, $A_{mn}g_m$ tabelovaná konstanta (viz návod), k Boltzmanova konstanta a T taplota oblouku. Závislost vynesená v grafu se nazývá pyrometrická přímka. Její směrnice má hodnotu:

$$A = -\frac{1}{kT} \quad (3)$$

2 Měření

2.1 Úkol 1

Úkolem bylo určit z pyrometrické přímky teplotu elektrického oblouku. K dispozici byla tabulková data z návodu a datový soubor Ze12.dat. Pomocí tohoto souboru byla tabulková data doplněna o příslušné hodnoty intenzit I_{mn} , viz kapitolu 2.1.1. Tato data s polu s vypočítanou hodnotou $\ln \left(\frac{I_{mn}\lambda_{mn}}{A_{mn}g_m} \right)$ jsou uvedena v tabulce 1. Rozsah vlnové délky byl v souboru menší, než v tabulkových hodnotách, proto bylo pracováno pouze s hodotami, pro které bylo možné stanovit intenzitu I_{mn} . Graf závislosti $\ln \left(\frac{I_{mn}\lambda_{mn}}{A_{mn}g_m} \right)$ na E_m je zobrazen na obrázku 1.

Směrnice grafu byla určena numericky standartní cestou. Její hodnota byla stanovena na

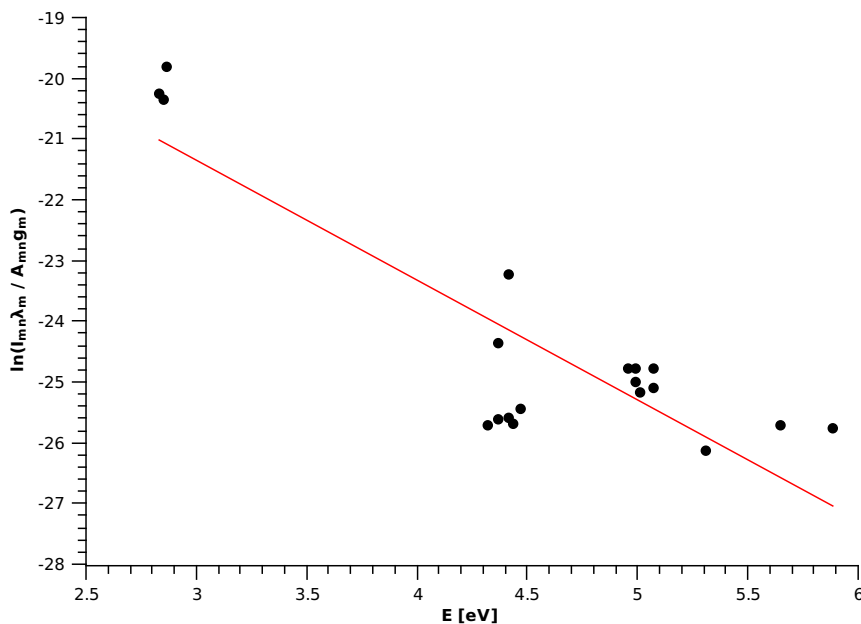
$$A = (-2, 0 \pm 0, 3)eV = (1, 2 \pm 0, 2) \cdot 10^{19}J$$

ze vztahu 3 plyne:

$$T = (5800 \pm 900)K$$

$\lambda_{mn}[nm]$	$E_m[eV]$	$A_{mng_{mn}} \cdot 10^8[s^{-1}]$	I	$\ln\left(\frac{I_{mn}\lambda_{mn}}{A_{mng_{mn}}}\right)$
429,413	4,371	0,71	4334,41	-24,36
429,924	5,308	5,2	5427,93	-26,13
430,791	4,434	5,9	9480,93	-25,70
431,509	5,070	1,5	4375,12	-25,10
432,576	4,473	6,1	12439,80	-25,45
433,705	4,415	0,23	4293,44	-23,24
435,274	5,070	1	4010,54	-24,77
436,977	5,882	2,2	3286,51	-25,75
437,593	2,832	0,0094	3457,19	-20,25
438,357	4,321	7,7	12044,20	-25,71
440,475	4,371	4,4	7470,87	-25,62
441,512	4,415	2,8	4883,74	-25,59
442,731	2,851	0,0099	3236,69	-20,35
444,234	4,988	1,1	3406,71	-25,01
444,320	5,647	1,9	2921,56	-25,71
444,772	5,009	1,1	2913,71	-25,16
445,912	4,988	1	3848,73	-24,79
446,165	2,865	0,00520	2887,84	-19,82
445,912	4,955	1	3848,73	-24,79

Tabulka 1: Konstanty a výsledky pro některé spektrální čáry



Obrázek 1: Graf z jehož směrnice lze vypočítat teplotu elektrického oblouku

2.1.1 Určení intenzity I_{mn} z datového souboru Ze12.dat

Datový soubor Ze12.dat byl rozdelen na dva soubory: Ze12_lambda.dat a Ze12_I.dat. Pro určení Intenzit příslušících vlnovým délkám uvedeným v tabulce v návodu, byl použit následující skript v c++:

```
#include <iostream>
#include <fstream>
#include <string>
#include <vector>
#include <sstream>

using std::vector;
using std::string;

double to_double(std::string const& str) {
    std::istringstream ss(str);
    double d;
    ss >> d;

    return d;
}

int main(){
    std::ifstream soubor1("Ze12_lambda.dat");
    std::ifstream soubor2("Ze2_I.dat");

    string line;
    vector<string> lambda_s;
    vector<string> energy_s;

    while (getline(soubor1, line))
        lambda_s.push_back(line);

    while (getline(soubor2, line))
        energy_s.push_back(line);

    vector<double> lambda;
    vector<double> energy;

    for (int j = 0; j != lambda_s.size(); j++){
        double number = to_double(lambda_s[j]);
        lambda.push_back(number);
    }
    for (int j = 0; j != energy_s.size(); j++){
        double number = to_double(energy_s[j]);
        energy.push_back(number);
    }

    double d;
    std::cin >> d;
    int i = 0;

    while (d > lambda[i])
        i++;
}
```

```

double smernice = ((energy[i] - energy[i-1])/(lambda[i] - lambda[i-1]));

double en = energy[i-1] + smernice*(d - lambda[i-1]);

std::cout << en << std::endl;

return 0;
}

```

po jehož spuštění stačí napsat na standardní vstup vlnovou délku, načež se na standartní výstup vypíše hledaná intenzita

2.2 Úkol 2

Druhým úkolem bylo určit teplotu elektrického oblouku pomocí měření intenzit spektrálních čar a znalosti vztahu, tzv. pyrometrické přímky (vztah 4):

$$\ln \frac{I}{v^4 S} = -\frac{B_v hc}{kT} N(N+1) + konst \quad (4)$$

kde I je měřená intenzita spektrální čáry, v vlnočet spektrální čáry, S Honl-Londonův intenzivní faktor daného přechodu, B_v rotační konstanta, h Planckova konstanta, c rychlosť světla, k Boltzmanova konstanta, T hledaná teplota a N rotační kvantové číslo. Byl použit soubor OH-10.spc s již naměřenými výsledky. Tyto výsledky byly zpracovány dle návodu. Hodnoty s kterými bylo dále pracováno shrnuje tabulka 2. Ze vztahu 4 je zřejmé, že pro výpočet teploty oblouku stačí najít směrnici lineární závislosti $\ln \frac{I}{Sv^4}$ na $N(N+1)$. Tato závislost byla vynesena do grafu na obrázku 2 a směrnice z něj numericky vypočítána:

$$A = -0,037$$

Ze vztahu 5:

$$T = -\frac{B_v hc}{kA} \quad (5)$$

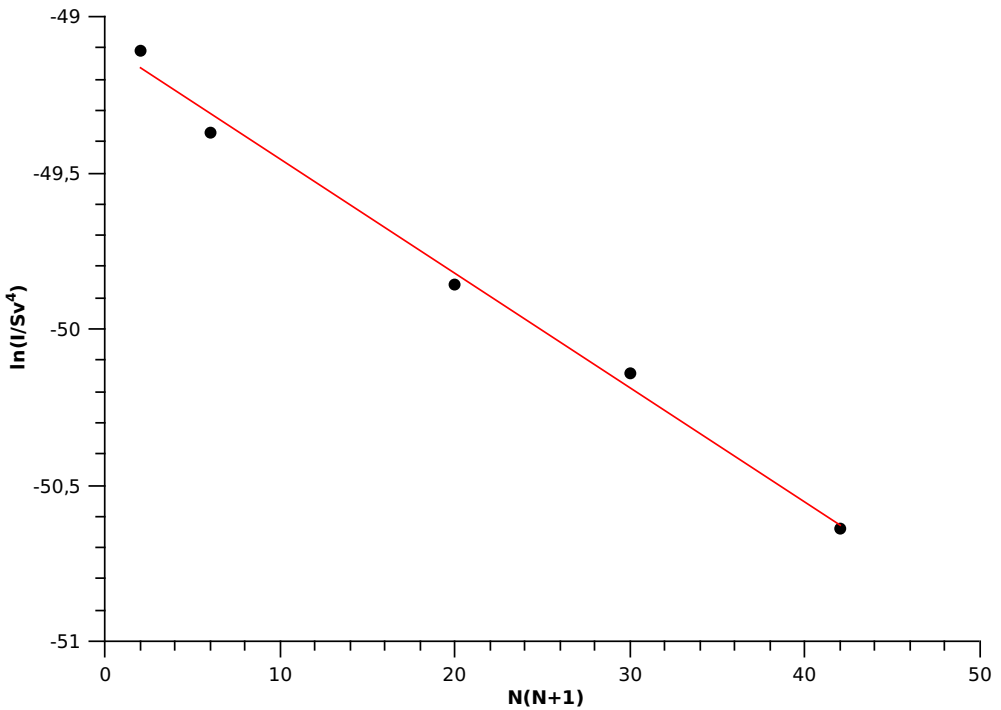
plyne, že:

$$T = 498K$$

Program Span1.6 stanovil teplotu na $T = 514K$.

N	J	S	$\lambda[nm]$	$v \cdot 10^6[m^{-1}]$	I	$\ln \frac{I}{Sv^4}$
1	1,5	0,563	307,861	3,248	29543	-49,11
2	2,5	1,065	307,995	3,247	42874	-49,37
4	4,5	2,100	308,327	3,243	51734	-49,86
5	5,5	2,640	308,520	3,241	48612	-50,14
6	6,5	3,160	308,735	3,239	35492	-50,64

Tabulka 2: Hodnoty sloužící k výpočtu teploty elektrického oblouku.



Obrázek 2: Graf závislosti $\ln \frac{I}{Sv^4}$ na $N(N + 1)$

3 Závěr

Byla měřena teplota elektrického oblouku pomocí pyrometrické přímky. V prvním úkolu je velká chyba měření pravděpodobně způsobena tím, že plazma při vyzařování není v přesné dynamické rovnováze, a proto také nevyzařuje presne podle vzorce. Ve druhém případě se výsledek našeho výpočtu téměř shoduje s výsledkem vypočítaným programem Span1.6. Avšak, ačkoli jsem postupoval přesne podle návodu, je možné, že jsem některou ze spektrálních čar identifikoval špatně. V takovém případě, pak žádný program na kontrolu nepomůže, protože by pracoval se stejnou chybou, jako já.